

Curso Matt - Grupos de Artin-Tits & Grupos modulares

I. Trenzas & grupos modulares

• Para superficie en general - Farb Margalit



D_n : disco con n puntos marcados $P = \{p_1, \dots, p_n\}$

Arcos: aplicación continua $a: [0,1] \rightarrow D_n$ $a(0) \in \partial D \cup P$
inyección en ∂D $a(\partial D) \cap (\partial D \cup P) = \emptyset$

Consideramos los arcos salvo isotopía: Si $g_a \in \partial D$ entonces los extremos se pueden mover a lo largo de ∂D

a es **esencial** si no es isotópico a un arco constante.

Pensemos en "arcos" salvo isotopía.

Una **curva** γ es simplemente cerrada en $\text{int}(D) \setminus P$

γ es **esencial** si no es contractible al mapeo constante & **No es paralela a ∂D**

Observación Las curvas son curvas de Jordan, ie divide a D en dos componentes

Una curva es esencial \iff Rodea a $2 \leq k \leq n-1$ puntos

$h \in \text{Homeo}(D_n) \iff h$ es un homeomorfismo del disco D que preserve orientación & fija a P como conjunto (globalmente), $h|_{\partial D} = \text{id}$
 * Si fija a P puntualmente se llaman puros

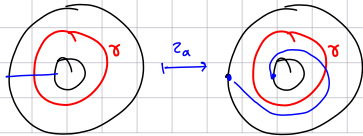
+ h induce una permutación en P

+ $h \sim h'$ son isotópicos si $\exists (h_t)$ terna de elementos de $\text{Homeo}^+(D_n)$ tal que $h_0 = h$ & $h_1 = h'$

+ $\text{MCG}(D_n) = \text{Mod}(D_n) =$ es el grupo de las clases de isotopías de elementos de $\text{Homeo}^+(D_n)$

+ $\text{Mod}(D_n) \curvearrowright \text{AG}$ donde $A = \text{Homeo} S / \sim$ $\mathcal{C} = \text{curvas } S / \sim$

+ giro de Dehn a lo largo de γ



$$A = \{Re^{i\theta} \mid 1 \leq R \leq 2 \quad 0 \leq \theta < 2\pi\}$$

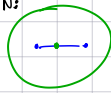
$$z_\alpha: A \rightarrow A$$

$$Re^{i\theta} \mapsto Re^{i(\theta - 2\pi R)}$$

Semigrupo de Dehn



$N: \mathbb{Z}$



$$f(Re^{i\theta}) = \begin{cases} Re^{i(\theta-\tau)} & R \leq 1/2 \\ Re^{i(\theta+\tau)} & R > 1/2 \end{cases}$$

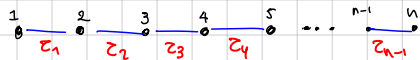
$$z \in D_n \quad T_n(z) = \begin{cases} \phi^{-1} \circ \phi & \text{si } z \in N \\ z & \text{si } z \in D \setminus N \end{cases}$$

Observación $\# \mathbb{Z}^2$ as in giro de Dehn alrededor del borde de una vecindad tubular de a

+ Las órbitas de Mod sobre las curvas es un número finito y está completamente determinada por el $\#$ puntos "dentro" de la curva.

$a \in A$ en $a(\alpha) + a(\beta)$

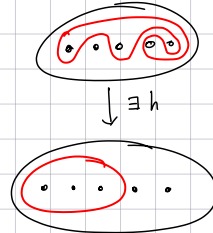
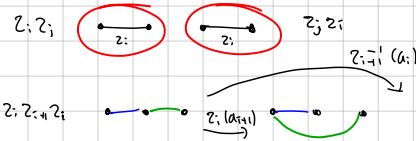
$h \in \text{Mod}(D_n) \quad h \circ \alpha = \alpha_1 \quad z_a = h^{-1} z_{a_1} h$



$$B_n = \langle \sigma_1, \dots, \sigma_{n-1} \mid \sigma_i \sigma_j = \sigma_j \sigma_i, (i-1) \sigma_i^2 \rangle \xrightarrow{\cong} \text{Mod}(D_n)$$

$\sigma_i \mapsto z_i$

cambio de coordenadas



$z_i^{-1} z_{i+1} z_i =$ semicírculo alrededor de $z_i(a_{i+1})$
 $z_{i+1} z_i z_{i+1}^{-1} =$ semicírculo alrededor de $z_{i+1}^{-1}(a_i)$

Grato de Curvas (68-70)

$V(G) =$ curvas

$E(G) = c_1 - c_2 \iff c_1 \cap c_2 = \emptyset$

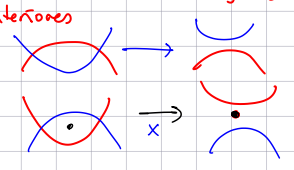
- disjuntas contienen representantes disjuntos y no paralelos
- posición minimal: No hay bigones sin puntos interiores

Grato de arcos

$V(G) =$ arcos A

$E(G) = a_1 - a_2$ arcos **disjuntos**

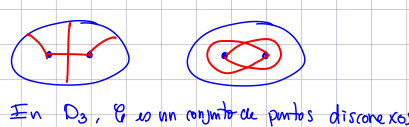
disjuntos = representantes disjuntos y no paralelos
 \implies pueden coincidir en la frontera =



Grato de Arcos y curvas

$V(G) = A \cup \mathcal{C}$

$E(G) = c_1 - c_2$ si son **disjuntos**



* Estos gratos son localmente infinitos

* Para $n \geq 4$ $\mathcal{C}(D_n)$ es un grato conexo

Sean dos curvas $c_1 + c_2$ en $\mathcal{C}(D_n)$, $i(c_1, c_2) = \min \#(c_1 \cap c_2) \leftarrow$ Par = curvas de Jordan =

$i(c_1, c_2) = 0 \quad c_1 - c_2$
 $i(c_1, c_2) = 2 \quad c_1 - c_2 - c_2$

$i(c_1, c_2) < 2k \iff \exists$ camino entre $c_1 + c_2$

$i(C_1, C_2) < 2K \Rightarrow C_1 \dots C_2$
 $i(C_1, C_2) = 2K$

- Ⓐ δ : $p_i, p_j \in \text{Ext}(C_2)$ entonces hay a lo mas $n-2$ puntos en $C_2 \rightsquigarrow C_1$ salvo ---
- Ⓑ Si p_i, p_j viven en distintos componentes se puede encontrar una curva γ de la misma manera
- Ⓒ Si p_i, p_j son interiores a C_2 se invierten los roles del caso Ⓐ Ejercicio conducir esta demostración.

$d(C_1, C_2) :=$ largo minimo de un camino entre C_1 y C_2

Hemos probado que $d(C_1, C_2) \leq i(C_1, C_2) + 1$
 + la acción de Mod en BA es por \mathbb{Z}^2 isométrica

Teorema \mathcal{E} es un espacio Gromov-U-hiperbólico

(para S general Masur-Minsky)

Nuevas demostraciones: [Przytycki - Handel - Webb] [Bowditch] [Aougab] [Przytycki - Sisto]

S compacta sin borde
 Q: ¿Se puede adaptar a superficies con borde?
 sucede en \mathcal{E}

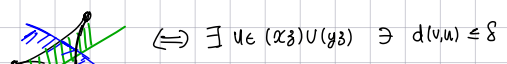
Geometría gruesa

- Referencias:
- Bridson-Haefliger
 - Bowditch
 - Cornuier-Delzant-Papadopolus
 - Ghys
 - Clara Löh

X gráfico métrico,

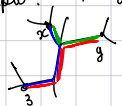
Geodésica en X entredos verticos x, y es un camino de x a y que tiene $d(x, y)$ aristas

X es hiperbólico si: $\exists \delta > 0$ tal que $\forall x, y, z \forall$ geodésica $(x, y), (y, z), (x, z)$
 se tiene que $(x, y) \subset N_\delta((x, z) \cup (y, z))$

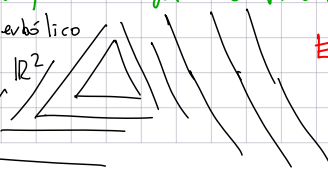


Decimos que el triángulo es δ -flaco.

Ejemplo: T árbol es 0-hiperbólico



No ejemplo



El δ es uniforme
 No depen de del triángulo.

Meta: Mostrar que \mathcal{C} es hiperbólico

Casi isometría: $(X, d) \xrightarrow{f} (Y, d_Y)$

es casi-isometría (c.i.)

① es un empuje casi-isométrico

$$\exists [C \geq 1, D \geq 0] \ni \forall x, x' \in X$$

C, D uniforme

$$\frac{1}{C} d_X(x, x') - D \leq d_Y(fx, fx') \leq C(d_X(x, x') + D)$$

② \exists casi inverso $g: Y \rightarrow X$

$$\text{ie } d_Y(fg(y), y) \leq C \quad y \in Y$$

C uniforme

$$d_X(gf(x), x) \leq C \quad x \in X$$

Equivalentemente ① f es un empuje casi isométrico

② $f(X)$ es casi denso en Y , ie $\exists c > 0 \forall y \exists x, d(fx, y) < c$

Equivalentemente $X \xrightarrow[f]{g} Y$ tiene casi inverso f, g cumplen ②

Proposición Si X es δ -hiperbólico $f: X \rightarrow Y$ es c.i. entonces Y es hiperbólico (con constante dependiendo de δ y de las constantes de la casi-uniformidad)

Teorema (BODWITCH-HAMENSTANDT, ...) = criterio de hiperbolicidad =

X gráfico, $\forall x, y \in X \exists A(x, y) \subset X$ tal que

(1) $x, y \in A(x, y)$, $A(x, y)$ conexo

(2) $\exists h \geq 0 \ni d(x, y) = 1 \Rightarrow \text{diam}(A(x, y)) \leq h$

(3) Los $A(x, y)$ forman triángulos δ -flacos

$$\exists \delta \geq 0 \forall x, y, z \quad \forall u \in A(x, y) \exists v \in A(x, z) \cup A(y, z)$$

$$A(x, y) \subset N_\delta(A(x, u) \cup A(y, u)) \Rightarrow d(u, v) \leq \delta$$

entonces X es hiperbólico (la constante dependiendo de δ y h)

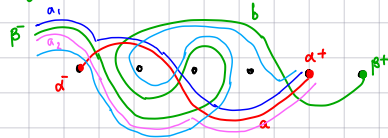
\neq do) $A(x, y)$ son casi geodésicos.

casi geodésico $\exists K \ni d_{\text{Haus}}(\text{geo}(x, y), A(x, y)) \leq K$

$$d_{\text{Haus}}(A, B) = \text{mínimo } K \ni A \subset N_K(B) \quad B \subset N_K(A)$$

Demostración (\mathbb{C} es hiperbólico)

① \mathbb{A} es hiperbólico:



Unicornio entre a^+, b^+ es un arco de extremidades $a \neq b$ (solo elección de \pm) que sigue una parte de a y luego una parte de b

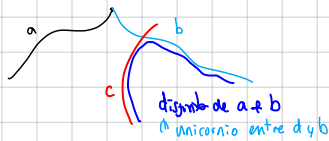
Fijamos $\alpha = \alpha^+ \neq \beta = \beta^-$ tenemos 4 caminos de unicornios entre $a \neq b$
 \Rightarrow conjunto de arcos es conexo.

$$\begin{matrix} a^+ & b^+ \\ a^- & b^- \\ a^+ & b^- \\ a^- & b^+ \end{matrix}$$

Este proceso es finito al ser el índice finito

$$A(a,b) = u(a^+, b^+) \cup u(a^+, b^-) \cup u(a^-, b^+) \cup u(a^-, b^-)$$

Lema Caminos de unicornios forman triángulos 1-flacos



$\Rightarrow \mathbb{A}$ es hiperbólico

$\mathbb{A} \mathbb{C} =$ arcos y curvas

Afirmación $\mathbb{A} \mathbb{C}$ es hiperbólico

$$B(x,y) = \begin{cases} \{x,y\} & x \text{ es arco} \\ \text{arcs disjuntos} \\ \text{arc } x & x \text{ es curva} \end{cases}$$

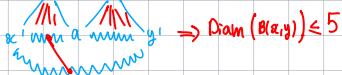
$$B(x,y) = \bigcup_{\substack{x' \in \mathbb{A}(x) \\ y' \in \mathbb{A}(y)}} A(x', y')$$

① $B(x,y)$ conexo $x, y \in B(x,y)$



③ $B(x,y)$ triángulos 1-flacos

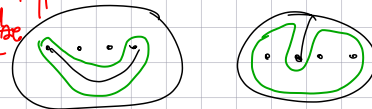
② S : $x \text{ --- } y$ como disjuntos



$$\begin{matrix} \varphi \cdot \eta = \text{id}_{\mathbb{A} \mathbb{C}} \\ \eta \cdot \varphi \sim \text{id}_{\mathbb{A} \mathbb{C}} \end{matrix}$$

Afirmación $\mathbb{A} \mathbb{C} \xleftarrow{\varphi} \mathbb{C} \xrightarrow{\eta} \mathbb{A} \mathbb{C}$

$$\begin{matrix} c \xrightarrow{\eta} c \\ a \xrightarrow{\eta} c(a) = \partial N(a) \cup \partial N(b) \end{matrix}$$



(Masur - Minsky)) $d_{\mathbb{A} \mathbb{C}}(\varphi x, \varphi y) \leq 2 d_{\mathbb{C}}(x, y)$

Sesion 2.

+ Un espacio acotado es hiperbólico.

+ Un espacio metrico es acotado \Leftrightarrow es casi isometrico a un punto.

El ser hiperbólico es interesante por que se pueden extender algunos resultados de la parte dinámica al caso algebraico

Grupos de Artin-Tits

$$B_n = \langle \sigma_1, \dots, \sigma_{n-1} \mid \begin{array}{l} \sigma_i \sigma_j = \sigma_j \sigma_i \quad |i-j| \geq 2 \\ \sigma_i \sigma_{i+1} \sigma_i = \sigma_{i+1} \sigma_i \sigma_{i+1} \end{array} \rangle \quad \left(\begin{array}{ccc} 1 & 3 & 2 \\ 3 & & 2 \\ 2 & 3 & 1 \end{array} \right) = M(B_n)$$

Grupos de Artin - Tits

$$\langle S \mid \underbrace{sts}_{\text{largo } m_{st}} = \underbrace{tst}_{\text{largo } m_{st}} \dots, \quad st = ts \rangle = A \quad (A \text{ de grupos de Artin})$$

Vamos a considerar S finito.

Matriz de Coxeter $M = (m_{st})_{s,t \in S}$ $m_{st} \in \{1, 2, 3, \dots, \infty\}$ simétrica, $m_{ss} = 1$

Si $m_{st} = \infty$ no hay relación entre s y t

Si $m_{st} = 2$ $st = ts$, i.e. $s \cong t$

Grafo de Coxeter

Vertice $\leftrightarrow S$

Aristas $\leftrightarrow s \xrightarrow{m_{st}} t$ $m_{st} \geq 3$; cuando $m_{st} = 3$ no ponemos etiqueta "por convención" con etiqueta

$$A / \langle\langle s^2 \rangle\rangle = \langle S \mid \underbrace{st \dots}_{\text{largo } m_{st}} = \underbrace{tst \dots}_{\text{largo } m_{st}}, \quad s^2 = 1 \rangle = W \quad (W \text{ de grupos de Weyl})$$

Hay un morfismo natural $A \xrightarrow{\theta} W$, en el caso de trenzas $B_n \xrightarrow{\theta} S_n$
y $\ker \theta = P_n =$ "pure mapping class group de D_n "

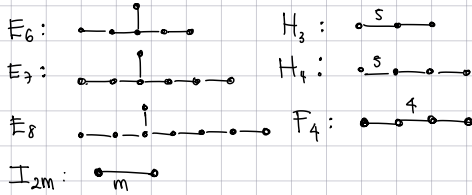
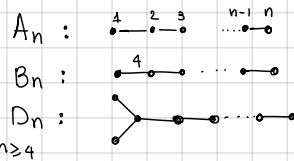
Si W es finito, A se llama de tipo finito (o de tipo esférico).

Hay muy pocos resultados para los grupos de Artin en general, sin embargo para los grupos de Artin-Tits de tipo esférico muy muchos resultados interesantes.

Si el grafo es conexo, A se dice irreducible, Notemos que es equivalente a no poder expresarlo como producto directo

Teorema (Coxeter)

Si A es un grupo de Artin de tipo finito, entonces A está dado por uno de los siguientes gráficos:



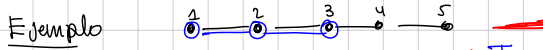
Lema (Matsumoto)

- ① Una palabra reducida en W es una palabra de largo mínimo en S
- ② Dos palabras reducidas en W son equivalentes \Leftrightarrow Podemos pasar de una a otra mediante conmutación & relaciones de trenzas

$\Rightarrow \langle\langle s^2 \rangle\rangle$
 \parallel
 $1 \rightarrow CA \rightarrow A \xrightarrow{\pi} W \rightarrow 1$

Δ π no es un morfismo de grupos, por lo tanto no es un producto semidirecto.

Subgrupo Parabólico estándar



$X = \{1, 2, 3\} \subset \{1, 2, 3, 4, 5\} = S$

$A_X = A \left(\begin{array}{ccc} \bullet_1 & \bullet_2 & \bullet_3 \\ \bullet_2 & \bullet_3 & \bullet_4 \end{array} \right)$

$W_X = W \left(\begin{array}{ccc} \bullet_1 & \bullet_2 & \bullet_3 \\ \bullet_2 & \bullet_3 & \bullet_4 \end{array} \right)$

Teo (Van der Lek)

$A_X = A \langle \Gamma_X \rangle$
 donde Γ_X es la subgrupos generados por X

Subgrupo parabólico $\exists A_X < A$ estándar $\neq \alpha \in A \ni P = \alpha^{-1} A_X \alpha$
 $W_X < W$ " " " $w \in W \ni P_w = w^{-1} W_X w$

Estructura de Garside

A es de tipo finito (ie W es finito)
 Garside '69 // Brieskorn-Saito '72

A^+ = monoide dado por la misma presentación que A
 (de hecho se considera el monoide generado por los generadores de A
 y Luis Paris demostró que admite exactamente la misma presentación que tiene A pero como monoide)

largo de A^+ , $l: A^+ \rightarrow \mathbb{N}$ morfismo $l(s) = 1 \forall s \in S \neq l(1) = 0$

Se define una relación de orden en A

moq. $\begin{cases} a \leq b & \text{si existe } c \in A^+ \text{ tal que } b = ac & : \text{orden prefijo} \\ b \geq a & \text{si existe } c \in A^+ \text{ tal que } b = ca & : \text{orden sufixo} \end{cases}$

$$a \leq b \Rightarrow da \leq db \quad \forall d \in A^+$$

$$a \geq b \Rightarrow ad \geq bd \quad \forall d \in A^+$$

Teorema (Garside, ^{Bn+}Braskorn-Sarto ^{A+ ordenado}): \leq y \geq son retículas de A^+ .

$d = \text{MCD}(a, b) = a \wedge b$
 $m = \text{mcm}(a, b) = a \vee b$

Comentario: $A^+ \longrightarrow A$ es inyectiva
 $s \longmapsto s$

Recordemos la sección $f: W \longrightarrow A$, notemos que $f(w) \in A^+$

para $g \in A^+$ los siguientes resultados son equivalentes

- \oplus g está en la imagen de f
- \oplus $l(g) = l(\theta(g))$
- \oplus g se escribe sin cuadrados

Cuando W es finito $\exists!$ $w_0 \in W$ de largo máximo.

Llamaremos $\Delta = f(w_0)$

Δ es el mínimo común múltiplo de $f(W)$, respecto a los dos ordenes \leq y \geq

$$f(W) = \text{prefijos de } \Delta S = \text{sufixos de } \Delta S$$

llamamos a $f(W)$ el conjunto de elementos simples

(A, A^+, Δ) estructura de Garside = Foundations of Garside Theory = Dehornoy et al.

- Monoide
- elemento especial del monoide
- Orden \leq, \geq son retículas
- prefijos / sufixos de Δ generan A

• Problema de la palabra y conjugación \Leftarrow Formas normales

Forma normal (ala izquierda) Dado $\alpha \in A^+$ existe una única descomposición $\alpha = \alpha_1 \dots \alpha_r$ con α_i simple $\alpha_1, \dots, \alpha_r \neq 1$ y cada par de factores es ponderado a la izquierda

$$\alpha_i = (\alpha_i \alpha_{i+1}) \wedge \Delta$$

Notemos que A es el grupo de fracciones de A^+
 $\Rightarrow \alpha = n^{-1}p$ con $p, n \in A^+$ y $p \wedge n = 1$

Tomando formas normales de $p \wedge n$ induce una forma normal en α esto es llamada forma normal fraccionaria

Charney-Davis: la forma P_N es una geodésica en $\text{Cay}(A)_{\mathcal{P}(W)}$

Brieskorn-Saito: $Z(A) \in \langle \Delta \rangle, \langle \Delta^2 \rangle$

Hay una permutación involutiva $f: S \rightarrow S$ dada por $s\Delta = \Delta f(s)$

Algunos resultados:

$A_X \subset A$ parabólico estándar
 $\exists \Delta_X \in A_X, \Delta_X \circ \Delta_X^2$ central

P parabólico $\rightsquigarrow Z_P$ elemento central de Goursat

(Cuntz, González-Merino, Gebhardt, West) Si queremos estudiar grupos parabólicos basta estudiar estos centralizadores

Teorema $\alpha^{-1}P\alpha = Q \iff \alpha^{-1}Z_P\alpha = Z_Q$

• $P = Q \iff N_A(P) = Z_A(Z_P)$

fuertemente basado en Godelle: Normalisateurs de sousgroupes paraboliques de groupes de A-T.

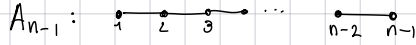
P es estándar $\iff Z_P$ es positivo

Estandarizador de P

(Cuntz) Existe un estandarizador mínimo positivo
 es n si $Z_P = pn^{-1}$

Hecho: Si $z_p z_q = z_q z_p$ entonces existe un elemento α tal que $\alpha^{-1} p \alpha, \alpha^{-1} q \alpha$ son estándar

Ejemplo



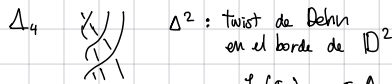
$A(A_{n-1}) = B_n \quad W(A_{n-1}) = S_n$

el elemento más largo en S_n es quien hace intercambio de parejas hacia

$w_0 = \begin{pmatrix} 1 & 2 & \dots & n \\ n & n-1 & \dots & 1 \end{pmatrix}$

$w_0 = (112)(23) \dots (n-1, n)(112) \dots (n-2, n-1) \dots (112)(23)(12)$

$f(w_0) = (\sigma_1 \dots \sigma_{n-1})(\sigma_1 \dots \sigma_{n-2}) \dots (\sigma_1 \sigma_2)(\sigma_1)$



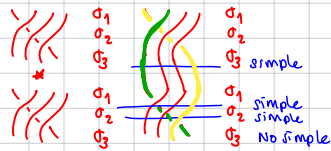
Δ^2 : twist de Dehn en el borde de D^2

$f(\sigma_i) = \sigma_i \Delta = \Delta \sigma_{n-i}$

Δ no es central $\leftarrow f: \sigma_i \mapsto \sigma_{n-i}$
 Δ^2 es central

¿Cómo se ven los elementos de $f(S_n)$?
 los elementos (simples): trenzas positivas cuyas cuerdas se cruzan a lo más una vez

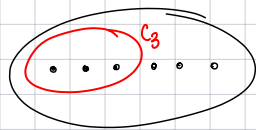
GAP: Groups Algorithms Programming



Subgrupo parabolico estándar irreducible



Grupo de cuerdas con menos cuerdas



C_6 Mapping class group con soporte en el interior de C_3 son trenzas sobre las 3 primeras cuerdas

$A_{2,3} = \langle \sigma_1, \sigma_2 \rangle < B_6 = A(A_5)$ (el elemento central de Goursde es el twist de Dehn alrededor de C_3)

Cuando C es una curva arbitraria $C \exists \alpha \in B_n$ tal que

$\alpha \cdot C = C_m$ con $2 \leq m \leq n-1$

y corresponde al grupo de trenzas ($\text{Mod}(D_n)$) que tiene soporte dentro de C

$P \longleftrightarrow \text{Mod}(D_n) \text{ con soporte en } C \longleftrightarrow \mathbb{C}$

¿curvas \longleftrightarrow { subgrupos parabolicos irreducibles }

Para A de tipo finito

Gráfico de subgrupos parabólicos irreducibles \mathcal{P}

$$V(\mathcal{P}) = \{ \text{subgrupos parabólicos irreducibles} \}$$

$$E(\mathcal{P}) = \{ P - Q \iff z_P z_Q = z_Q z_P \}$$

Conjetura: \mathcal{P} es hiperbólico

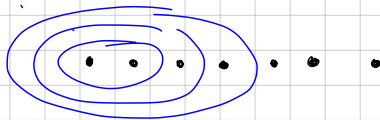
$PS(A)$ Gráfico de subgrupos parabólicos irreducibles

Cuando $A = B_n$ entonces $PS(A) \longrightarrow \mathcal{C}(D_n)$

Prop Si $z_P z_Q = z_P z_Q$ entonces existe $g \in A$ tal que $g^{-1}Pg, g^{-1}Qg$ son estándar.

Electrificación de $\text{Cay}(A, \text{simple})$ respecto a los cosets de $N_A(\tilde{P}_i)$

dónde $\{ \tilde{P}_i \}$ familia (finita) de subgrupos parabólicos estándar que representan a clases de conjugación (ie estabilizadores de $A \subset PS$)



Def La electrificación de $\text{Cay}(A, \text{simple})$ respecto a $N_A(\tilde{P}_i)$ es

$$\text{es } \mathcal{G} = \text{Cay} \cup \text{aristas adicionales}$$

$$g \longrightarrow h \quad \text{s: } \begin{cases} g^{-1}h \text{ es simple} \\ g^{-1}h \in N_A(\tilde{P}_i) \end{cases}$$

Teo $\mathcal{G} \stackrel{a.i.}{\cong} PS$

Dem $\oplus PS \xrightarrow{\psi} \mathcal{G}$

$$P \longmapsto g \quad \text{tal que} \quad g * \tilde{P}_i = P \quad (\text{s: } h * \tilde{P}_i = P \Rightarrow g^{-1}h \in N_A(\tilde{P}_i))$$

$\oplus \mathcal{G} \xrightarrow{\psi} PS$

$$g \longmapsto \underbrace{g * \tilde{P}_i}_{\text{esto tiene diámetro acotado}}$$

Resta ver que $d_{\mathcal{G}}(\psi(o), \psi(a)) \leq A d_{PS}(o, a) + B$

$$d_{PS}(\psi(o), \psi(a)) \leq A d_{\mathcal{G}}(g_1, g_2) + B$$

$$P \sim Q \sim z_p z_a = z_a z_p$$

$$\exists \tilde{P}, \tilde{Q} \in g \in A \text{ tal que } \begin{matrix} g * \tilde{P} = P \\ g * \tilde{Q} = Q \end{matrix} \quad \left. \begin{matrix} \tilde{P} = g_1 * \tilde{P}_1 \\ \tilde{Q} = g_2 * \tilde{P}_0 \end{matrix} \right\} \begin{matrix} \text{donde estos son parte} \\ \text{de la familia cocorrida} \\ \text{al inicio} \end{matrix}$$

Para cada estándar \tilde{P} (recordamos hay un número finito)
 es cogar un $g \in A \exists g * \tilde{P} = \tilde{P}_1$
 Hay una sola mediana B sobre todos estos g 's.

$$P_i \xrightarrow{[c_{0,1}]} \tilde{P} \xrightarrow{g} P \quad \begin{matrix} \psi(P) = g \tilde{P}_1 \\ \psi(P)^{-1} \psi(Q) = g_1^{-1} g_2 \end{matrix}$$

tiene a lo más largo $2B$
 \Rightarrow la primera desigualdad.

$$S: g \xrightarrow{\quad} gS \quad \text{entonces} \quad \begin{matrix} \psi(gS) = \int gS * \tilde{P}_1 \\ \psi(g) = \int g * \tilde{P}_1 \end{matrix}$$

$\Rightarrow d(\psi(gS), \psi(g))$ es acotado

Si $g \xrightarrow{\quad} gz$ entonces $\begin{matrix} \psi(gz) = \int gz * \tilde{P}_1 \\ \psi(g) = \int g * \tilde{P}_1 \end{matrix}$ // los dos elementos intercambian como? y luego se cumple la segunda desigualdad

Proceso de electrificar (conectar - cone off)

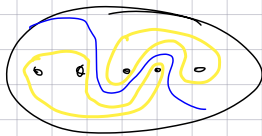
- cone off along parabolic subgroups =

$$C_{\text{cops}} = \text{Cayley} (A, \begin{matrix} \text{simple} \\ \text{- elementos en subgrupos} \\ \text{para inred. estándar} \end{matrix})$$

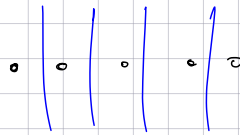
$$S: A = B_n \quad C_{\text{cops}} \xrightarrow{g_i} \text{Arios con sus extremidades en los bordes.}$$

$\Rightarrow C_{\text{cops}}(B_n)$ es hiperbólico

Conjetura. $C_{\text{cops}}(A)$ es hiperbólico para todo A



cruza arbitraria



familia distinguida

$$C_{\text{cops}} \xrightarrow{\text{lip}} \neq PS$$

Trabajo en conjunto con Bert Nisenz

$\mathbb{C}(\mathbb{D}_n)$, c_0 punto base $\alpha = \alpha_1 \dots \alpha_n$ forma normal a la izquierda
 $c_0, \alpha_1 \neq c_0, \alpha_1 \alpha_2 \neq c_0, \dots, \alpha_1 \dots \alpha_n \neq c_0$

Pregunta 1: ¿es este camino geodésico?

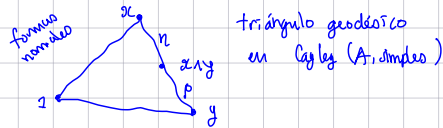
Espacio hiperbólico



Para todo triángulo geodésico existe un δ -centro uniforme ($\exists p'$ a distancia δ uniforme a a, b, c)

Pregunta 2: Dado $1, x, y \in B_n$ ¿de dónde viene el δ -centro del triángulo $A(1, x), A(x, y), A(1, y)$?

"Respuesta" Debería ser $x \wedge y$



Def $y \in B_n$ es absorbible si:

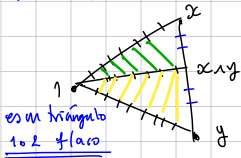
- (1) $fN(y)$ no tiene Δ
- (2) $\exists \alpha$ en forma normal $\Delta^p \alpha_1 \dots \alpha_n$
 tal que $fN(x, y) = \Delta^p \alpha_1 \dots \alpha_n$ (lo decir no cambia el largo)

Hecho: Una subpalabra de una palabra absorbible es absorbible

Complejo de longitudes adicionales
 $\mathcal{C}_{AL} = \text{Cay}(A, \text{simplex absorbibles})$

Teo \mathcal{C}_{AL} satisface las dos propiedades de la pregunta (1) & (2)

(1) Las fN satisfacen el criterio de hiperbolicidad



es un triángulo 1-2-1-lado

$$\begin{aligned} \alpha &= \alpha_1 \dots \alpha_n & \beta &= \beta_1 \dots \beta_m & \alpha\beta &= \alpha_1 \dots \alpha_n \beta_1 \dots \beta_m \\ \alpha_1 &= \text{uco}(\Delta, \beta) = \Delta \wedge \beta & \dots & & (\alpha_1 \dots \alpha_n) &= \Delta^i \wedge \alpha \\ \Rightarrow \alpha_1 \dots \alpha_i &= \Delta^i \wedge (\alpha \beta) \\ \alpha_1 \dots \alpha_i &\leq \Delta^i \wedge \alpha = \alpha \dots \alpha_i \end{aligned}$$

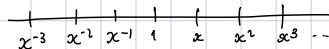
El problema es que los elementos absorbibles NO son bien comprendidos (son muy complejos)

Vemos que \mathcal{C}_{AL} tiene diámetro infinito

+ construir un elemento que actúa loxodromicamente


(basado en el estudio del retículo de los simplex & de una acción transitiva de ciertas formas normales)

α no es absorbible, es rígido



Existe una proyección $\mathbb{C}_{AL} \xrightarrow{\lambda} \mathbb{Z} = \langle \alpha \rangle + a$ tal que si $|\lambda(\beta_1) - \lambda(\beta_2)| \geq 3$ entonces $A(z_1, z_2)$ pasa por $A(\alpha^{\lambda(\beta_1)+2}, \alpha^{\lambda(\beta_2)-1})$

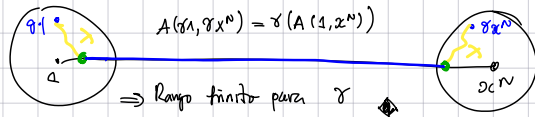
(esta propiedad no se adapta a cual que pseudo-Anosov, se construye el elemento de una manera muy específica)

Afirmación: $d(1, \alpha^N) \geq N/2$ (en caso contrario $d(1, \alpha^N) = K < N/2 \Rightarrow |\lambda(v_i) - \lambda(v_{i+1})| < 1$)
 $A(v_i, v_{i+1})$ "contiene una copia de α^N "

Afirmación α es debilmente propiamente discontinuo.

$\forall K \exists N$ tal que $\left\{ \begin{array}{l} \gamma : d(1, \gamma) \leq K \\ d(\alpha^N, \gamma \alpha^N) \leq K \end{array} \right\}$ es finito.

Lema 1. $\lambda : \mathbb{C}_{AL} \rightarrow \mathbb{Z}^k, K \in \mathbb{Z}$ es Lipschitz.
 $d(\alpha^{\lambda(z_1)}, \alpha^{\lambda(z_2)}) \leq M d(z_1, z_2)$



OSIN: G actúa en un elementoloxodromico. Deblmente propiamente discontinua en un espacio hiperbolico
 $\Leftrightarrow G$ es acilindricamente hiperbolico

¿ La acción de A en \mathbb{C}_{AL} es acilindrica ?

$\therefore A/\mathbb{Z}A$ es acilindricamente hiperbolico

PS $\rightarrow \mathbb{C}_{AL}$ Lipschitz sobre identidad en los vértices de Cay(A)

(cumplido / Artbold) elementos que poseen una curva redonda (normalizadores de parábolas estándar) se pueden escribir como productos de lo más q elementos absorbibles

\Rightarrow PS $\rightarrow \mathbb{C}_{AL}$ es q -Lipschitz.

- \oplus PS tiene diámetro infinito \oplus Q180 ($\mathbb{C}_{AL}(A)$)
 - \oplus Trazos reducidos a través de manera eliptica en \mathbb{C}_{AL} \oplus Aplicación en otros contextos
 - \oplus Conjetura $\mathbb{C}_{AL} \xleftrightarrow{q.i} PS$
- \Rightarrow Todos los PA actúan loxodromicamente en \mathbb{C}_{AL}

\oplus Genericidad en G : caminata aleatoria // bola en grupo Cay con medida uniforme y es casi uno a azar

SISTO (cumplido): loxodromicos son genericos ($B_r, r \rightarrow \infty, P(\text{lox} \in B_r) \xrightarrow{r \rightarrow \infty} 1$)